

III. ОБРАТНЫЕ ЗАДАЧИ ГЕОФИЗИКИ

УДК 550.330: 517.984

О ВОССТАНОВЛЕНИИ РАСПРЕДЕЛЕНИЯ ПЛОТНОСТИ ГОРИЗОНТАЛЬНО ОДНОРОДНОЙ ЖИДКОЙ СРЕДЫ ПО ВОЛНОВЫМ ЧИСЛАМ И АМПЛИТУДАМ ПРОГРЕССИВНЫХ ПОВЕРХНОСТНЫХ ВОЛН

Н.Н. Новикова

*Международный институт теории прогноза землетрясений
и математической геофизики Российской академии наук*

Г.М. Хенкин

Университет Пьера и Марии Кюри, Париж

В развитие работы авторов [1] в настоящей статье предлагается вычислительный метод, позволяющий с большей точностью восстановить достаточно гладкое распределение плотности и модуля сжатия горизонтально однородной жидкой среды только по волновым числам и амплитудам прогрессивных поверхностных волн, возбуждаемых монохроматическим источником на двух разных и достаточно больших частотах.

ON RECOVERING THE DENSITY DISTRIBUTION OF A HORIZONTALLY HOMOGENEOUS LIQUID MEDIUM FROM WAVE-NUMBERS AND AMPLITUDES OF PROGRESSIVE SURFACE WAVES

N.N. Novikova

*International Institute of Earthquake Prediction Theory
and Mathematical Geophysics, Russian Academy of Sciences*

G.M. Henkin

Université de Pierre et Marie Curie, Paris

Following [1] in the present article a computational method is proposed. This method allows with large precision to reconstruct a sufficiently smooth distribution of density and modulus of compressibility of horizontally homogeneous liquid media, only through wave-numbers and amplitudes of progressive surface waves exited by a monochromatic source with two different and sufficiently large frequencies.

ВВЕДЕНИЕ

Монохроматический источник звука в горизонтально однородном жидким полупространстве $(x, y, z) \in \mathbb{R}^3 : x \geq 0$ вызывает колебания среды, наиболее характерную часть которых составляют поверхностные волны, называемые прогрессивными или бегущими нормальными волнами. В цикле работ [1–6] разработан весьма эффективный метод, позволяющий при фиксированной достаточно большой частоте зондирования по волновым числам и амплитудам прогрессивных волн с хорошей точностью восстановить акустический профиль жидкой среды $\lambda(x)/\rho(x)$, $x \geq 0$, где $\rho(x)$ – плотность, $\lambda(x)$ – модуль сжатия. При этом казалось невозможным [7] по характеристикам прогрессивных волн, без использования дополнительной информации восстановить отдельно распределение плотности $\rho(x)$ и модуля сжатия $\lambda(x)$, $x \geq 0$.

В развитие работы [1] в настоящей статье предлагается метод, позволяющий с любой точностью восстановить достаточно гладкие $\rho(x)$ и $\lambda(x)$ только по волновым числам и амплитудам прогрессивных волн, возбуждаемых монохроматическим источником на двух разных и достаточно больших частотах.

1. ПРОГРЕССИВНЫЕ ПОВЕРХНОСТНЫЕ ВОЛНЫ

На основе [2, 8] резюмируем в удобном для нас виде теорию прогрессивных поверхностных волн.

Пусть $P(x, y, z, t)$ обозначает гидростатическое давление в жидким полупространстве $x \geq 0$ в момент $t \geq 0$. Пусть источник монохроматических колебаний расположен вблизи поверхности полупространства $x \geq 0$ и имеет вид

$$P(+0, y, z, t) = F(r)e^{i\omega t}, \quad r = \sqrt{y^2 + z^2}.$$

Тогда стационарные колебания гидростатического давления имеют вид $P(x, r, t) = Re[P_0(x, r)e^{i\omega t}]$, где функция $P_0(x, r)$ удовлетворяет стационарному акустическому уравнению

$$\Delta P_0 + \frac{\nabla \rho}{\rho} \nabla P_0 + \omega^2 \frac{\rho}{\lambda} P_0 = 0,$$

с граничными условиями $P_0(+0, r) = F(r)$; $P_0(\infty, r) = 0$.

Сделаем подстановку Лиувилля

$$P_0(x, r) = \sqrt{\frac{\rho(x)}{\rho(0)}} \psi(x, r).$$

Тогда в цилиндрических координатах функция $\psi(x, r)$ удовлетворяет уравнению

$$\frac{1}{r} \frac{\partial}{\partial r} \left(r \frac{\partial \psi}{\partial r} \right) + \frac{\partial^2 \psi}{\partial x^2} + \left(\omega^2 \frac{\rho(x)}{\lambda(x)} - \frac{(1/\sqrt{\rho(x)})''}{1/\sqrt{\rho(x)}} \right) \psi = 0$$

с граничными условиями

$$\psi(+0, r) = F(r), \quad \psi(\infty, r) = 0.$$

Ввиду горизонтальной однородности среды полезно сделать преобразование Фурье–Бесселя функции $\psi(x, r)$ по переменной $r \geq 0$. Получим функцию

$$\varphi(x, \xi) = \int_0^\infty \psi(x, r) r I_0(\xi r) dr,$$

где $I_0(z) = \frac{1}{\pi} \int_0^\pi \cos(z \sin \alpha) d\alpha$ – функция Бесселя нулевого порядка. При этом

$$\varphi'_x(x, \xi) = \int_0^\infty \frac{\partial \psi}{\partial x}(x, r) r I_0(\xi r) dr.$$

В результате функция $\varphi(x, \xi)$ удовлетворяет уравнению Штурма–Лиувилля

$$-\varphi''(x, \xi) + q_\omega(x)\varphi(x, \xi) = -\xi^2\varphi(x, \xi), \quad (1.1)$$

где потенциал имеет вид

$$q_\omega(x) = -\omega^2 \frac{\rho(x)}{\lambda(x)} + \frac{(1/\sqrt{\rho(x)})''}{1/\sqrt{\rho(x)}}, \quad x \geq 0. \quad (1.2)$$

Границные условия имеют следующий вид:

$$\varphi(0, \xi) = \int_0^\infty F(r) r I_0(\xi r) dr \stackrel{\text{def}}{=} \Phi(\xi), \quad \varphi(x, \xi) \rightarrow 0, \quad x \rightarrow \infty. \quad (1.3)$$

Обратное преобразование Фурье–Бесселя реализует фундаментальное представление стационарных колебаний $P(x, r, t)$ в виде суммы колебаний двух видов: бегущих поверхностных волн P_1 и стоячих волн P_2 . Интенсивность колебаний $P_1(x, r, t)$ экспоненциально убывает по $x \rightarrow \infty$ и медленно, как $O(1/\sqrt{r})$ по $r \rightarrow \infty$. Интенсивность колебаний $P_2(x, r, t)$ быстро убывает по $r \rightarrow \infty$. При этом

$$P_1(x, r, t) = \sqrt{\frac{\rho(x)}{\rho(0)}} \sum_{k=1}^N \pi A_k \varphi(x, \xi_k) [E_0(\xi_k r) \cos \omega t + J_0(\xi_k r) \sin \omega t], \quad (1.4)$$

$$P_2(x, r, t) = P_2^0(x, r) \cos \omega t,$$

где $\{\xi_j\}$ и $\{A_j\}$ – так называемые волновые числа и амплитуды поверхностных волн.

Имеет место следующая интерпретация этих параметров в терминах спектральных характеристик задачи Дирихле для уравнения Штурма–Лиувилля (1.1). Числа $\{-\xi_j^2\}$ – собственные значения задачи Дирихле для (1.1); функции $\{\varphi(x, \xi_j)\}$ – собственные функции задачи Дирихле для (1.1) с нормировочным условием $\varphi'_x(0, \xi_j) = 1$, $j = 1, 2, \dots, N$. Далее:

$$A_j = -\frac{1}{2} \Phi(\xi_j) \left(\int_0^\infty \varphi^2(x, \xi_j) dx \right)^{-1}, \quad (1.5)$$

$E_0(\xi r)$, $J_0(\xi r)$ – функции Вебера и Бесселя нулевого порядка. Прогрессивные поверхностные волны $P_1(x, r, t)$ в силу (1.4) зависят от отрицательного дискретного спектра задачи Дирихле для (1.1). Стоячие волны $P_2(x, r, t)$ связаны с непрерывным спектром этой задачи. Можно ли восстановить параметры жидкой среды $\rho(x)$ и $\lambda(x)$ по характеристикам $\{\xi_j\}$ и $\{A_j\}$ прогрессивных волн, вызываемых монохроматическим источником?

Эта задача исследовалась в работах [1–6] на основе теории обратных задач Штурма–Лиувилля [9, 10].

2. ОБРАТНАЯ ЗАДАЧА ШТУРМА–ЛИУВИЛЛЯ ПО ХАРАКТЕРИСТИКАМ ОТРИЦАТЕЛЬНОГО ДИСКРЕТНОГО СПЕКТРА

Пусть потенциал $q_\omega(x)$ в уравнении Штурма–Лиувилля (1.1) удовлетворяет условию

$$\int_0^\infty \sqrt{|q_\omega(x)|} dx < \infty.$$

Для любого $\xi > 0$ пространство функций $\varphi(x, \xi)$, удовлетворяющих (1.1) и условию (1.3), одномерно, и поэтому корректно определена функция $j(\xi) = \varphi'_x(0, \xi)/\varphi(0, \xi)$, называемая импедансом или функцией Вейля задачи Дирихле для (1.1). В силу теоремы Вейля–Титчмарша [9] функция $j(\xi)$ мероморфно продолжается в полу平面 $\{\xi \in \mathbb{C} : \operatorname{Re} \xi > 0\}$ с простыми полюсами в точках $\xi_1, \xi_2, \dots, \xi_N$ положительной полусоси. При этом

$$\lim_{\xi \rightarrow \xi_j} j(\xi)(\xi_j^2 - \xi^2) = C_j, \quad (2.1)$$

где

$$C_j = \left(\int_0^\infty \varphi^2(x, \xi) dx \right)^{-1},$$

$$\varphi(0, \xi_j) = 0, \quad \varphi(\infty, \xi_j) = 0, \quad \varphi'_x(0, \xi) = 1, \quad j = 1, 2, \dots, N,$$

$$N \leq \frac{1}{\pi} \int_0^\infty \sqrt{|q_\omega(x)|} dx.$$

На действительной оси $\tau \in \mathbb{R}$ определим (положительную) меру вида

$$\sigma(d\tau) = \begin{cases} \sum_{j=1}^N C_j \delta(\tau + \xi_j^2) d\tau = \sigma_-(d\tau), & \tau < 0, \\ \frac{1}{\pi} \operatorname{Im} j(-i\sqrt{\tau}) d\tau = \sigma_+(d\tau), & \tau > 0, \end{cases}$$

где $\delta(\cdot)$ – функция Дирака. Мера $\sigma(d\tau)$ называется спектральной мерой задачи Дирихле для уравнения (1.1).

Введем в рассмотрение также некоторый фиксированный опорный потенциал $q_0(x)$ без отрицательного спектра, т.е. со спектральной мерой вида

$$\sigma^0(d\tau) = \begin{cases} 0, & \tau < 0, \\ \sigma_+^0(d\tau), & \tau > 0. \end{cases}$$

Например, для $q_0(x) \equiv 0$ имеем

$$j_0(\xi) = -\xi \quad \text{и} \quad \sigma^0(d\tau) = \begin{cases} 0, & \tau \leq 0, \\ \frac{1}{\pi} \sqrt{\tau} d\tau, & \tau > 0. \end{cases}$$

Классическая формула Гельфанд–Левитана [9, 10] для восстановления $q(x)$ через $q_0(x)$ и спектральную меру $\sigma(d\tau)$ имеет вид

$$\int_0^x q(y) dy = \int_0^x q_0(y) dy + 2A(x, x). \quad (2.2)$$

При этом $A(x, y)$ есть решение интегрального уравнения

$$\Phi(x, y) + \int_0^x A(x, s)\Phi(s, y)ds + A(x, y) = 0,$$

с ядром вида

$$\Phi(x, y) = \int_{-\infty}^{\infty} \varphi_0(x, -i\sqrt{\tau})\varphi_0(y, -i\sqrt{\tau})(\sigma(d\tau) - \sigma^0(d\tau)),$$

где $\varphi_0(x, \xi)$ удовлетворяет уравнению (1.1) с потенциалом $q_0(x)$ и краевым условием $y_0(\infty, \xi) = 0$, $y'_0(0, \xi) = 1$.

Из формул (1.4), (1.5) следует, что характеристики прогрессивных волн $\{\xi_j\}$, $\{A_j\}$ дают нам полную информацию о спектральной мере $\sigma_-(d\tau)$ на отрицательной полуоси (при условии, что известен также источник колебаний $\Phi(\xi)$) и не дают никакой информации о спектральной мере $\sigma_+(d\tau)$ на положительной полуоси.

Хотя полное восстановление потенциала $q_\omega(x)$ только по спектральной мере $\sigma_-(d\tau)$ на отрицательной полуоси, вообще говоря, невозможно, представляется перспективным разрабатывать методы приближенного восстановления $q_\omega(x)$ по $\sigma_-(d\tau)$ с точностью, возрастающей с ростом ω .

Действительно, поскольку потенциал q_ω вида (1.2) по крайней мере при больших ω является отрицательным (притягивающим), то по известной асимптотической формуле Вейля число отрицательных собственных значений $N(\omega)$ возрастает с ростом ω асимптотически, как

$$N(\omega) \sim \frac{1}{\pi} \int_0^\infty \sqrt{|q_\omega(x)|} dx \sim \frac{\omega}{\pi} \int_0^\infty \sqrt{\frac{\rho(x)}{\lambda(x)}} dx.$$

Поэтому можно рассчитывать, что с ростом ω вклад в формулу (2.2) для искомого потенциала q_ω от спектральной меры $\sigma_+(d\tau)$ на положительной полуоси уменьшается.

В работах [1–6] детально разработана следующая конструкция.

Пусть q_ω – потенциал вида (1.2). Положим $q_0 \equiv 0$ и в качестве потенциала, аппроксимирующего $q_\omega(x)$, возьмем потенциал $q_\omega^0(x)$, для которого

$$\begin{cases} \sigma_-(d\tau) = \sum_{j=1}^N C_j \delta(\tau + \xi_j^2) d\tau, & \tau < 0, \\ \sigma_+(d\tau) = \sigma_+^0(d\tau) = \frac{1}{\pi} \sqrt{\tau} d\tau, & \tau > 0, \end{cases} \quad (2.3)$$

где $\{-\xi_j^2\}$, $\{C_j\}$ – характеристики дискретного спектра (1.1) с потенциалом (1.2). Далее, на основе формулы Гельфанд–Левитана в [3] найдена явная формула (см. также разд. 3) для $q_\omega^0(x)$, разработан метод вычислений [4] по этой формуле. Многочисленные эксперименты [5] дают хорошую и устойчивую сходимость

$$\frac{1}{\omega^2} q_\omega^0(x) \rightarrow \frac{1}{\omega^2} q_\omega(x) \approx -\frac{\rho(x)}{\lambda(x)}, \quad \omega \rightarrow \infty.$$

Наконец, в [1] и [6] доказано следующее утверждение.

Теорема 0. Пусть потенциал $q_\omega(x)$ вида (1.2) таков, что для некоторых постоянных $\omega_0 > 0$, $x_0 > 0$ и некоторой положительной функции $b(a)$ имеем

1) $q_\omega(x) < 0$, $x \geq 0$, $\omega \geq \omega_0$,

2) $\frac{d}{dx} q_\omega(x)$ имеет конечное число интервалов монотонности при $x \geq 0$, $\omega \geq \omega_0$,

3) $b(a) \leq \left| \frac{d^2}{dx^2} q_\omega(x) \right| x^a \leq \frac{1}{b(a)}$, при $x \geq x_0$, $a > 4$.

Тогда для любого $X > 0$ равномерно по $x \in [0, X]$ имеет место оценка

$$\frac{1}{\omega^2} \left| \int_0^x (q_\omega(y) - q_\omega^0(y)) dy \right| = O \left(\frac{\ln \omega}{\sqrt{\omega}} \right). \quad (2.4)$$

Описанные результаты полностью обосновывают возможность приближенного восстановления акустического профиля водной среды $\lambda(x)/\rho(x)$ по характеристикам прогрессивных поверхностных волн с точностью, возрастающей с ростом частоты зондирования ω .

Однако оценка (2.4) и многочисленные эксперименты с аппроксимирующим потенциалом $q_\omega^0(x)$ не дают еще никаких оснований на возможность отдельного восстановления параметров жидкой среды $\lambda(x)$ и $\rho(x)$ по характеристикам прогрессивных волн.

Приведенный в [1] более тщательный ВКБ-анализ асимптотики по ω функции Вейля $j(\xi)$ для уравнения (1.1) с потенциалом q_ω вида (1.2) показал, что аппроксимация потенциала q_ω может быть значительно улучшена, если в качестве аппроксимирующего потенциала взять такой потенциал $q_\omega^*(x)$, для которого

$$\begin{cases} \sigma_-(d\tau) = \sum_{j=1}^N C_j \delta(\tau + \xi_j^2) d\tau, & \tau < 0, \\ \sigma_+(d\tau) = \frac{1}{\pi} \sqrt{\tau - q_\omega(0)} d\tau, & \tau > 0, \end{cases} \quad (2.5)$$

где по-прежнему $\{-\xi_j^2\}$, $\{C_j\}$ – характеристики дискретного спектра (1.1) с потенциалом (1.2).

В [1] доказано следующее утверждение.

Теорема 1. Пусть потенциал $q_\omega(x)$ вида (1.2) таков, что для некоторых постоянных $\omega_0 > 0$, $x_0 > 0$ и положительной функции $b(a)$ имеем

- 1) $q_\omega(x) < 0$, $x \geq 0$, $\omega \geq \omega_0$,
- 2) $\frac{d^2}{dx^2} q_\omega(x)$ имеет конечное число интервалов монотонности при $x \geq 0$, $\omega \geq \omega_0$,
- 3) $b(a) \leq \left| \frac{d^3}{dx^3} q_\omega(x) \right| x^a \leq \frac{1}{b(a)}$ при $x \geq x_0$, $a > 5$.

Тогда для любого $X > 0$ равномерно по $x \in [0, X]$ имеет место оценка

$$\frac{1}{\omega^2} \left| \int_0^x (q_\omega(y) - q_\omega^*(y)) dy \right| = O\left(\frac{1}{\omega^3}\right). \quad (2.6)$$

Фиксируем далее $0 < \theta < 1$ и используем оценку (2.6) для двух относительно больших частот ω и $\theta\omega$. Учитывая конкретный вид (1.2) потенциала q_ω , получаем следствие.

Следствие. В условиях теоремы 1 имеем

$$\int_0^x \left[\frac{\rho(y)}{\lambda(y)} - \frac{1}{(1-\theta^2)\omega^2} (q_\omega^*(y) - q_{\theta\omega}^*(y)) \right] dy = O\left(\frac{1}{\omega^3}\right), \quad (2.7)$$

$$\int_0^x \left[\frac{(1/\sqrt{\rho(y)})''}{(1/\sqrt{\rho(y)})} - \frac{1}{1-\theta^2} q_{\theta\omega}^* + \frac{\theta^2}{1-\theta^2} q_\omega^* \right] dy = O\left(\frac{1}{\omega}\right). \quad (2.8)$$

Оценка (2.8) указывает на теоретическую возможность приближенного восстановления $\rho(x)$ только по характеристикам прогрессивных волн и еще по параметру

$$q_\omega(0) = -\omega^2 \frac{\rho(0)}{\lambda(0)} + \frac{(1/\sqrt{\rho})''(0)}{1/\sqrt{\rho}(0)},$$

участвующему в построении $q_\omega^*(x)$.

Оценка (2.7) показывает, что с помощью аппроксимаций $q_\omega^*(x)$ можно надеяться восстановить акустический профиль $\frac{\lambda(x)}{\rho(x)}$ с заметно большей точностью, чем с помощью аппроксимаций $q_\omega^0(x)$.

3. АЛГОРИТМ ВЫЧИСЛЕНИЙ

Пусть $q_\omega(x)$ – некоторый потенциал вида (1.2), где ω – фиксированный достаточно большой параметр. Следуя алгоритму, разработанному в [2], можно найти собственные значения $\{-\xi_j^2\}$ и собственные функции $y(x, \xi_j)$ задачи Дирихле для уравнения (1.1) с потенциалом (1.2). В результате получаем также константы $\{C_j\}$ вида (2.1), пропорциональные в силу (1.5) амплитудам $\{A_j\}$ бегущих поверхностных волн.

Аппроксимирующий потенциал $q_\omega^0(x)$, найденный в [3], легко и явно строится по формуле Гельфанд–Левитана. Именно, спектральная мера для q_ω^0 имеет вид (2.3), поэтому ядро соответствующего интегрального уравнения имеет вид

$$\Phi^0(x, y) = \sum_{j=1}^N C_j \frac{\sin(i\xi_j x)}{i\xi_j} \times \frac{\sin(i\xi_j y)}{i\xi_j}.$$

В результате потенциал $q_\omega^0(x)$ имеет вид:

$$q_\omega^0(x) = 2 \frac{d^2}{dx^2} \ln |\det W_{sr}(x)|, \quad (3.1)$$

где

$$W_{sr} = \frac{2\operatorname{sh}(\xi_s + \xi_r)x}{\xi_s + \xi_r} - (1 - \delta_{sr}) \frac{2\operatorname{sh}(\xi_s - \xi_r)x}{\xi_s - \xi_r} - \delta_{sr} \left[2x - \frac{4\xi_r^2}{C_r} \right], \quad (3.2)$$

$$\delta_{sr} = \begin{cases} 1, & s = r, \\ 0, & s \neq r, \end{cases} \quad s, r = 1, 2, \dots, N.$$

Для аппроксимирующего потенциала $q_\omega^*(x)$ спектральная мера имеет вид (2.5). Поэтому, если за опорный принять нулевой потенциал, то ядро интегрального уравнения для нахождения $q_\omega^*(x)$ имеет вид

$$\Phi^*(x, y) = \sum_{j=1}^N C_j \frac{\sin(i\xi_j x)}{i\xi_j} \times \frac{\sin(i\xi_j y)}{i\xi_j} + \\ + \frac{1}{\pi} \int_0^\infty \frac{\sin(\sqrt{\tau}x)}{\sqrt{\tau}} \times \frac{\sin(\sqrt{\tau}y)}{\sqrt{\tau}} (\sqrt{\tau} - q_\omega(0)) d\tau. \quad (3.3)$$

В отличие от $\Phi^0(x, y)$ ядро $\Phi^*(x, y)$ не является вырожденным. Поэтому потенциал $q_\omega^*(x)$ не находится в явном виде. Для численных расчетов потенциала $q_\omega^*(x)$ наиболее эффективной оказалась следующая процедура. Выберем на полуоси $\tau \geq 0$ конечное число точек $\tau_k = \mu_k^2$, $k = 0, 1, \dots, M$, так что $0 = \tau_0 < \tau_1 < \dots < \tau_M$. Положим

$$D_k = \frac{1}{\pi} \int_{\mu_{k-1}^2}^{\mu_k^2} (\sqrt{\tau} - q_\omega(0)) d\tau, \quad k = 1, 2, \dots, M. \quad (3.4)$$

Ядро $\Phi^*(x, y)$ заменим далее на вырожденное ядро $\tilde{\Phi}^*(x, y)$, в котором вместо интеграла в правой части (3.3) берется интегральная сумма вида

$$\sum_{k=1}^M D_k \frac{\sin(\mu_k x)}{\mu_k} \times \frac{\sin(\mu_k y)}{\mu_k},$$

где

$$D_k = F(\mu_k) - F(\mu_{k-1}), \\ F(\mu_k) = \frac{-2}{3\pi} q_\omega(0) \left[\frac{3\mu_k^4 - 3\mu_k^2 q_\omega(0) + q_\omega^2(0)}{(\mu_k^2 - q_\omega(0))^{3/2} + \mu_k^3} \right], \quad k = 1, \dots, M. \quad (3.5)$$

Интегральное уравнение Гельфанд–Левитана с вырожденным ядром $\tilde{\Phi}^*(x, y)$ приводит [3] к потенциальному вида

$$\tilde{q}_\omega^*(x) = 2 \frac{d^2}{dx^2} \ln \left| \det \begin{pmatrix} W^{11} & W^{12} \\ W^{21} & W^{22} \end{pmatrix} \right|, \quad (3.6)$$

где $W^{11}(x)$ и $W^{22}(x)$ – квадратные симметричные матрицы, соответственно, порядков N и M , матрицы W^{12} и W^{21} – прямоугольные, причем W^{21} является транспонированной по отношению к W^{12} . Элементы матрицы W^{11} определены, как в (3.2). Далее:

$$W_{sr}^{12} = W_{rs}^{21} = -\frac{4}{\xi_s^2 + \mu_r^2} (\mu_r \cos(\mu_r x) \operatorname{sh}(\xi_s x) - \xi_s \sin(\mu_r x) \operatorname{ch}(\xi_s x)), \\ s = 1, 2, \dots, N; \quad r = 1, 2, \dots, M. \quad (3.7)$$

$$W_{sr}^{22} = -\frac{2 \sin((\mu_s + \mu_r)x)}{\mu_s + \mu_r} + (1 - \delta_{sr}) \frac{2 \sin((\mu_s - \mu_r)x)}{\mu_s - \mu_r} + \delta_{sr} \left(2x + \frac{\mu_r^2}{D_r} \right), \\ s = 1, 2, \dots, M; \quad r = 1, 2, \dots, M.$$

При небольшом $\sup_k |\mu_k - \mu_{k-1}|$ и достаточно большом M потенциал \tilde{q}_ω^* весьма близок к потенциальну q_ω^* на отрезке достаточно большой длины. Для счета потенциалов q_ω^0 и \tilde{q}_ω^* по формулам (3.3)–(3.7) можно воспользоваться программой из [4].

4. МОДЕЛЬНЫЕ ПРИМЕРЫ

Основываясь на алгоритмах разд. 3, приведем результаты численных экспериментов, направленных на сравнение двух методов аппроксимации потенциалов q_ω вида (1.2) (по характеристикам прогрессивных поверхностных волн) потенциалом q_ω^0 вида (3.1) и потенциалом q_ω^* вида (3.6).

Представим потенциал (1.2) в виде

$$q_\omega = -\omega^2 Q_0(x) - Q_1(x), \quad (4.1)$$

где $Q_0(x) = \frac{\rho(x)}{\lambda(x)}$ и $Q_1(x) = -\sqrt{\rho}(1/\sqrt{\rho})''$.

По физическому смыслу потенциал $Q_0(x)$ всегда положителен, потенциал же $Q_1(x)$ может быть любого знака. В связи с этим рассмотрим два примера. В обоих примерах положительный потенциал $Q_0(x)$ имеет вид

$$Q_0(x) = \begin{cases} 1, & \text{если } x \in [0, 3], \\ 0, & \text{если } x > 3. \end{cases} \quad (4.2)$$

В первом примере потенциал $Q_1(x)$ положителен и имеет вид

$$Q_1(x) = Q(x) \stackrel{\text{def}}{=} \begin{cases} 0, & \text{если } x \in [0; 0.2] \cup [2.8; \infty), \\ 0.2, & \text{если } x \in (0.2; 0.4) \cup (2.6; 2.8), \\ 0.4, & \text{если } x \in [0.4; 0.6] \cup [2.4; 2.6], \\ 0.6, & \text{если } x \in (0.6; 0.8) \cup (2.2; 2.4), \\ 0.8, & \text{если } x \in [0.8; 1] \cup [2.0; 2.2], \\ 1.0, & \text{если } x \in (1; 2). \end{cases} \quad (4.3)$$

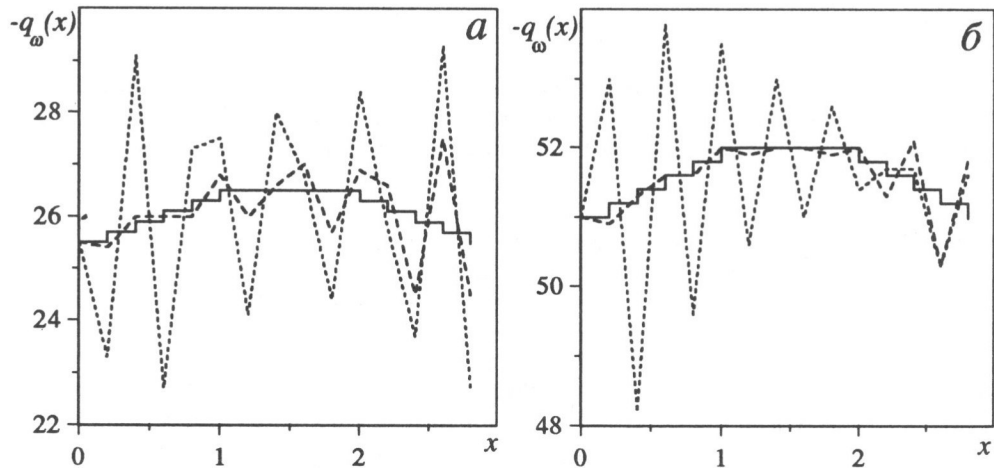


Рис. 1. Аппроксимация потенциала $q_\omega = -\omega^2 Q_0 - Q_1$ с притягивающими слагаемыми $-\omega^2 Q_0$ и $-Q_1$ ($Q_0 > 0$, $Q_1 > 0$), позволяющая восстановить не только Q_0 , но и Q_1 , при $\omega^2 = 25.5$ (а) и $\omega^2 = 51$ (б)

Сплошная линия – график потенциала $-q_\omega = \omega^2 Q_0 + Q_1$ вида (4.1)–(4.3), пунктир – аппроксимация $-q_\omega$ функцией $-q_\omega^0$ по формуле (3.1), штриховая линия – аппроксимация $-q_\omega$ функцией $-q_\omega^*$ по формуле (3.6)

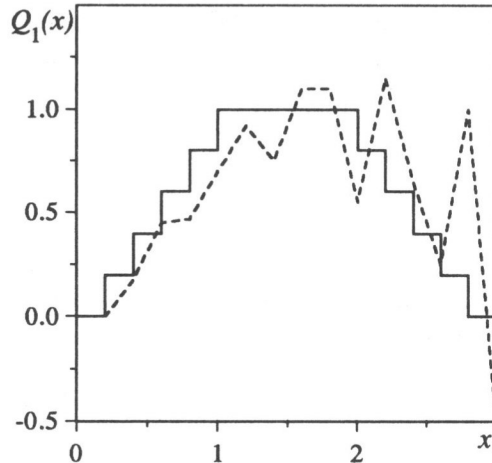


Рис. 2. График потенциала Q_1 вида (4.3) (сплошная линия) и аппроксимация $Q_1 = -2q_{\sqrt{25.5}} + q_{\sqrt{51}}$ функцией вида $Q_1^* = -2q_{\sqrt{25.5}}^* + q_{\sqrt{51}}^*$ (штриховая)

Во втором примере потенциал $Q_1(x)$ отрицательный и имеет вид

$$Q_1(x) = -Q(x). \quad (4.4)$$

В каждом примере выбираются два значения параметра ω : $\omega^2 = 25.5$ и $\omega^2 = 51$.

Графики $(-q_\omega)$ для первого примера в виде ступенчатых функций приведены на рис. 1, а для $\omega^2 = 25.5$ и на рис. 1, б для $\omega^2 = 51$; график Q_1 вида (4.3) изображен ступенчатой функцией на рис. 2.

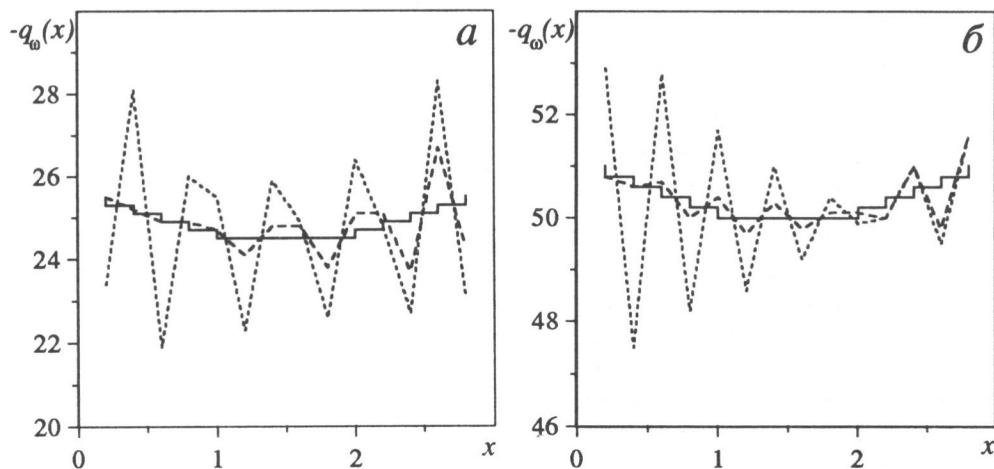


Рис. 3. Аппроксимация потенциала $q_\omega = -\omega^2 Q_0 - Q_1$ с притягивающим слагаемым $-\omega^2 Q_0$ и отталкивающим слагаемым $-Q_1$ ($Q_0 > 0$, $Q_1 < 0$), позволяющая восстановить не только Q_0 , но и Q_1 , при $\omega^2 = 25.5$ (а) и $\omega^2 = 51$ (б)

Сплошная линия – график потенциала $-q_\omega = \omega^2 Q_0 + Q_1$ вида (4.1), (4.2), (4.4), пунктир – аппроксимация $-q_\omega$ функцией $-q_\omega^0$ по формуле (3.1), штриховая линия аппроксимация $-q_\omega$ функцией $-q_\omega^*$ по формуле (3.6)

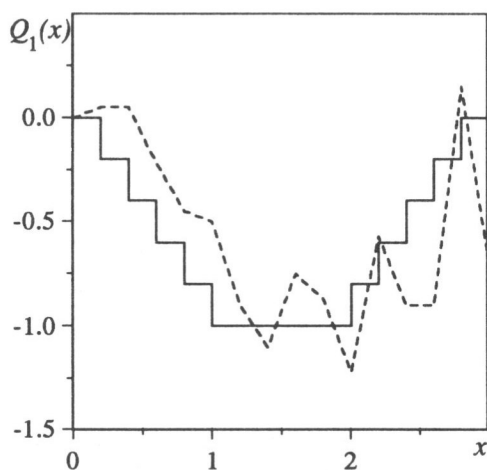


Рис. 4. График потенциала Q_1 вида (4.4) (сплошная линия) и аппроксимация $Q_1 = -2q_{\sqrt{25.5}} + q_{\sqrt{51}}$ функцией вида $Q_1^* = -2q_{\sqrt{25.5}}^* + q_{\sqrt{51}}^*$ (штриховая)

Графики $(-q_\omega)$ для второго примера в виде ступенчатых функций приведены на рис. 3, а для $\omega^2 = 25.5$ и на рис. 3, б для $\omega^2 = 51$; график Q_1 вида (4.4) изображен ступенчатой функцией на рис. 4.

Подходящим образом модифицированная программа [2] дает в задаче Дирихле для уравнения Штурма–Лиувилля с потенциалом вида (4.1), (4.2), (4.3) следующие значения характеристик дискретного спектра $\{\xi_s\}$, $\{C_s\}$.

В случае $\omega^2 = 25.5$

$$\begin{aligned} \xi_1 &= 5.03657, & C_1 &= 0.53689, \\ \xi_2 &= 4.71650, & C_2 &= 2.20271, \\ \xi_3 &= 4.17532, & C_3 &= 5.10272, \\ \xi_4 &= 3.29791, & C_4 &= 9.02828, \\ \xi_5 &= 1.67692, & C_5 &= 12.69540. \end{aligned} \quad (4.5)$$

В случае $\omega^2 = 51$

$$\begin{aligned} \xi_1 &= 7.13016, & C_1 &= 0.55947, \\ \xi_2 &= 6.90001, & C_2 &= 2.33861, \\ \xi_3 &= 6.52541, & C_3 &= 5.47785, \\ \xi_4 &= 5.97057, & C_4 &= 9.87618, \\ \xi_5 &= 5.17386, & C_5 &= 15.29684, \\ \xi_6 &= 4.01174, & C_6 &= 21.62475, \\ \xi_7 &= 1.99351, & C_7 &= 26.99551. \end{aligned} \quad (4.6)$$

Для потенциалов вида (4.1),(4.2),(4.4) получили следующие значения характеристик дискретного спектра $\{\xi_s\}$, $\{C_s\}$.

В случае $\omega^2 = 25.5$

$$\begin{aligned} \xi_1 &= 4.87054, & C_1 &= 0.66568, \\ \xi_2 &= 4.59037, & C_2 &= 2.61760, \\ \xi_3 &= 4.04147, & C_3 &= 5.51417, \\ \xi_4 &= 3.12669, & C_4 &= 9.28785, \\ \xi_5 &= 1.35425, & C_5 &= 12.59297. \end{aligned} \quad (4.7)$$

В случае $\omega^2 = 51$

$$\begin{aligned} \xi_1 &= 7.01243, & C_1 &= 0.71927, \\ \xi_2 &= 6.81195, & C_2 &= 2.77399, \\ \xi_3 &= 6.43792, & C_3 &= 5.90775, \\ \xi_4 &= 5.87283, & C_4 &= 10.22195, \\ \xi_5 &= 5.06473, & C_5 &= 15.73461, \\ \xi_6 &= 3.87188, & C_6 &= 21.95879, \\ \xi_7 &= 1.71962, & C_7 &= 26.69644. \end{aligned} \quad (4.8)$$

Подставляя параметры (4.5),(4.6) в формулу (3.1), получаем соответствующие потенциалам q_ω вида (4.1),(4.2),(4.3) аппроксимирующие потенциалы q_ω^0 ; графики $(-q_\omega^0)$ изображены на рис. 1,*a,b*.

Подставляя параметры (4.7),(4.8) в формулу (3.1), получаем соответствующие потенциалам q_ω вида (4.1),(4.2),(4.4) аппроксимирующие потенциалы q_ω^0 ; графики $(-q_\omega^0)$ изображены на рис. 3,*a,b*.

Для построения аппроксимирующих потенциалов q_ω^* наряду с параметрами $\{\xi_s\}$ и $\{C_s\}$ используются еще и параметры $\{\mu_k\}$ и $\{D_k\}$. При этом параметры $\{\mu_k\}$ можно свободно варьировать, а параметры $\{D_k\}$ задаются формулой (3.4), т.е. зависят только от $q_\omega(0) = -\omega^2 Q_0(0) - Q_1(0)$ и параметров μ_k , $k = 1, 2, \dots, M$. В

примерах удовлетворительная точность получалась при выборе 20 значений параметра μ_k^2 вида: $\mu_1^2 = 1$, $\mu_2^2 = 7$, $\mu_k^2 = (k-1)7$, $k = 2, 3, \dots, 20$.

При этом в обоих примерах находим D_k по формулам (3.5), где

$$q_\omega(0) = -25.5 \text{ при } \omega^2 = 25.5, \quad (4.9)$$

$$q_\omega(0) = -51 \text{ при } \omega^2 = 51 \text{ (см. (4.1)).} \quad (4.10)$$

Подставляя параметры (4.5),(4.6),(3.5),(4.9) в формулу (3.6), получаем соответствующие потенциалы q_ω вида (4.1),(4.2),(4.3), аппроксимирующие потенциалы q_ω^* ; графики $(-q_\omega^*)$ изображены на рис. 1,*a,b*. Подставляя параметры (4.7),(4.8),(3.5),(4.10) в формулу (3.6), получаем соответствующие потенциалы q_ω вида (4.1),(4.2),(4.4), аппроксимирующие потенциалы q_ω^* ; графики $(-q_\omega^*)$ изображены на рис. 3,*a,b*.

Из вида (4.1) потенциалов q_ω при $\omega^2 = 25.5$ и $\omega^2 = 51$ вытекает, в частности, равенство

$$Q_1 = -2q_{\sqrt{25.5}} + q_{\sqrt{51}}.$$

Поэтому, в соответствии с (2.8) для аппроксимации потенциала Q_1 естественно использовать функцию вида

$$Q_1^*(x) = -2q_{\sqrt{25.5}}^* + q_{\sqrt{51}}^*.$$

Можно пытаться также использовать для аппроксимации функцию вида

$$Q_1^0(x) = -2q_{\sqrt{25.5}}^0 + q_{\sqrt{51}}^0.$$

На рис. 2 и 4 изображены аппроксимации графиков Q_1 вида (4.3) и (4.4) соответствующими функциями $Q_1^*(x)$.

Вычисления по формулам (3.1),(3.6) проводились по программе [4].

На рис. 2 и 4 графики, соответствующие функциям $Q_1^0(x)$, не приводятся, поскольку не наблюдалось даже намека на аппроксимацию этими функциями потенциала $Q_1(x)$.

Приведенные модельные примеры убедительно иллюстрируют теоретические результаты [1] и разд. 2 и 3 данной статьи:

1. Аппроксимация потенциала q_ω как потенциалом q_ω^0 , так и потенциалом q_ω^* улучшается с ростом $\omega^2 = 25.5; 51$ в согласии с теоремой 0 и теоремой 1.

2. Аппроксимация потенциала q_ω потенциалом q_ω^* заметно лучше, чем потенциалом q_ω^0 в согласии с теоремой 1.

3. Аппроксимирующий потенциал q_ω^0 не позволяет восстановить малое слагаемое $-Q_1$ в потенциале вида (4.1). Это подтверждает недостаточно быструю сходимость q_ω^0 к q_ω при $\omega \rightarrow \infty$ (см. оценку (2.4) в теореме 0).

4. Аппроксимирующий потенциал q_ω^* настолько близок к q_ω , что позволяет восстановить малое слагаемое $-Q_1$ в потенциале (4.1). Это указывает на быструю сходимость потенциала q_ω^* к потенциальному q_ω (см. оценку (2.6) в теореме 1).

5. Возможность восстановления на основе формулы (3.6) слагаемого $-Q_1$ в (4.1) для потенциала Q_1 вида (4.4) представляется особенно интересной. Действительно, в этом случае потенциал $-Q_1(x) \stackrel{\text{def}}{=} Q(x)$ является положительным (отталкивающим). Поэтому при $\omega = 0$ задача Дирихле для уравнения Штурма–Лиувилля

с потенциалом вида $q_0(x) = -Q_1(x) \stackrel{\text{def}}{=} Q(x)$ не имеет отрицательного дискретного спектра. Поскольку в данном случае $Q_1(0) = 0$, то оба аппроксимирующих потенциала q_0^0 и q_0^* тождественно равны нулю, т.е. при $\omega = 0$ никакой аппроксимации не наблюдается. Однако рассмотрение малого положительного потенциала $-Q_1 \stackrel{\text{def}}{=} Q$ в сумме с большим отрицательным потенциалом $-\omega^2 Q_0$ приводит в задаче Дирихле для уравнения Штурма–Лиувилля к таким характеристикам дискретного спектра $\{\xi_s\}$ и $\{C_s\}$, которых оказывается достаточно, чтобы по формуле (3.6) восстановить не только отрицательный потенциал $-Q_0$, но и положительный $-Q_1 \stackrel{\text{def}}{=} Q$.

Авторы приносят благодарность за поддержку профессору Ж.П. Монтанье, лаборатория сейсмологии, Институт физики Земли, Университет "Париж-6".

Работа выполнена при поддержке ИНТАС (проект INTAS-RFBR 95-0865).

ЛИТЕРАТУРА

1. Henkin G.M., Novikova N.N. The reconstruction of the attracting potential in the Sturm–Liouville equation through characteristics of negative discrete spectrum // Studies in Appl. Math. 1996. N 97. P.17-52.
2. Левшенко В.Т., Маркушевич В.М., Резников Е.Л. О расчете смещений среды при виброзондировании крутильными колебаниями // Математические модели строения Земли и прогноза землетрясений. (Вычисл. сейсмология. Вып. 14). М.: Наука, 1981. С.134-145.
3. Маркушевич В.М., Новикова Н.Н., Резников Е.Л. Представление потенциала в явном виде через рациональную функцию Вейля для задачи Штурма–Лиувилля на полуоси // ДАН СССР. 1984 Т.278, N 5. С.1095-1097.
4. Маркушевич В.М., Новикова Н.Н. Метод вычисления потенциалов для некоторых рациональных импедансов. М.: 1984. 72 с. Деп. в ВИНИТИ АН СССР. 5.11.1984. N 7583-84.
5. Маркушевич В.М., Новикова Н.Н., Повзнер Т.А. и др. Метод определения акустического профиля по нормальным монохроматическим волнам // Математические методы в сейсмологии и геодинамике. (Вычисл. сейсмология. Вып. 19). М.: Наука, 1986. С.135-145.
6. Новикова Н.Н., Хенкин Г.М. О восстановлении оператора Штурма–Лиувилля по характеристикам дискретного спектра // Численное моделирование и анализ геофизических процессов. (Вычисл. сейсмология. Вып. 20). М.: Наука, 1987. С.174-185.
7. Бродов Л.Ю., Локцик В.В., Маркушевич В.М. и др. Опыт монохроматического зондирования верхней части разреза с помощью горизонтального вибратора // Современные методы интерпретации сейсмологических данных. (Вычисл. сейсмология. Вып. 24). М.: Наука, 1991. С.171-185.
8. Аки К., Ричардс П. Количественная сейсмология. М.: Мир, 1983. 880 с.
9. Левитан Б.М. Обратные задачи Штурма–Лиувилля. М.: Наука, 1984. 238 с.
10. Гельфанд И.М., Левитан Б.М. Об определении дифференциального уравнения по его спектральной функции // Изв. АН СССР. Сер. мат. 1951. N 15. С.309-360.